

С. В. Гонченко, Л. П. Шильников

Об арифметических свойствах топологических инвариантов систем с негрубой гомоклинической траекторией

В настоящей работе показано, что величина θ , введенная в [1], является топологическим инвариантом двумерных диффеоморфизмов с негрубой гомоклинической траекторией. Для диффеоморфизмов с негрубой гетероклинической траекторией соответствующий инвариант найден в [2]. Установлено, что в ряде случаев величина τ (см. [3]) также является топологическим инвариантом. В ситуации, когда в окрестности негрубой гомоклинической орбиты имеет место сложное поведение траекторий, указаны арифметические свойства θ и τ , связанные с существованием счетного множества устойчивых периодических точек.

1. Предварительные сведения. Рассмотрим C^r -гладкий ($r \geq 3$) диффеоморфизм T двумерного гладкого многообразия, удовлетворяющий следующим условиям:

А) T имеет седловую неподвижную точку с собственными значениями λ, μ и $0 < |\lambda| < 1 < |\mu|$;

Б) седловая величина $\sigma = |\lambda\mu| \leq 1$;

В) T имеет негрубую гомоклиническую траекторию Γ , образованную касанием конечного порядка $n \geq 1$ устойчивого W^s и неустойчивого W^u многообразий седловой неподвижной точки.

Можно показать, что существует такая окрестность S седловой неподвижной точки диффеоморфизма T , в которой $T|_S$ в некоторых C^r -координатах может быть представлено в виде

$$\bar{x} = \lambda x + f(x, y)x^2y, \quad \bar{y} = \mu y + g(x, y)xy^2, \quad (1)$$

где $O(0, 0)$ соответствует седловой неподвижной точке. Выберем пару точек траектории $\Gamma: M^+(x^+, 0) \in W_{loc}^s$ и $M^-(0, y^-) \in W_{loc}^u$ так, что $T^m M^- = M^+$ для некоторого достаточно большого m . Пусть $\Pi_0 \{(x_0, y_0)\}$, $\Pi_1 \{(x_1, y_1)\}$ — достаточно малые окрестности точек M^+ и M^- такие, что $T\Pi_i \cap \Pi_i = \emptyset$, $i = 0, 1$. Отображение $\hat{T} = T^m: \Pi_1 \rightarrow \Pi_0$ можно представить таким образом: $\bar{x}_0 = x^+ = F(x_1, y_1 - y^-)$, $\bar{y}_0 = G(x_1, y_1 - y^-)$, где $F(0) = G(0) = 0$. В силу условия В

$$\partial G(0)/\partial y_1 = \dots = \partial^n G(0)/\partial y_1^n = 0, \quad \partial^{n+1} G(0)/\partial y_1^{n+1} = (n+1)! \quad d \neq 0. \quad (2)$$

В этом случае отображение \hat{T} имеет вид

$$\begin{aligned} \bar{x}_0 - x^+ &= F(x_1, y_1 - y^-), \quad \bar{y}_0 = D(x_1, y_1) \cdot (y_1 - y^- - \varphi(x_1))^{n+1} + \\ &+ C(x_1)x_1 + L(x_1, y_1) \cdot (y_1 - y^- - \varphi(x_1)) \cdot x_1. \end{aligned}$$

Здесь $y_1 = y^- + \varphi(x_1)$ — уравнение поверхности $\partial^n G(x_1, y_1 - y^-)/\partial y_1^n = 0$, $D(0, y^-) = d$. Пусть $C(0) = G_{x_1}(0) = c$, $F_{y_1}(0) = b$, $L(0, y^-) = l$. Тогда $bc \neq 0$. Предположим, что выполняется следующее условие:

Γ) при n четном $l \neq 0$.

Можно показать, что существует такое $\bar{k} > 0$, что для любого $k \geq \bar{k}$ отображение $T^k : \Pi_0 \rightarrow \Pi_1$ определено и представимо в виде $x_1 = \xi_k(x_0, y_1)$, $y_0 = \eta_k(x_0, y_1)$, где

$$\xi_k = \lambda^k x_0 + |\lambda'|^k |\gamma|^{-k} \theta_k(x_0, y_1), \quad \eta_k = \gamma^{-k} y_1 + |\gamma|^{-2k} \psi_k(x_0, y_1), \quad (3)$$

а функции θ_k и ψ_k и их производные до любого конечного порядка $\leq r$ равномерно ограничены по k . Заметим, что $\lambda' = \lambda$, $\gamma' = \gamma$ в случае $\sigma < 1$ и $|\lambda| \leq |\lambda'| \leq |\lambda| + \varepsilon_1(k)$, $|\gamma| - \varepsilon_2(k) \leq |\gamma'| \leq |\gamma|$ в случае $\sigma = 1$, где $\varepsilon_i(k) \rightarrow 0$ при $k \rightarrow \infty$.

В силу (3) область определения отображения $T^k : \Pi_0 \rightarrow \Pi_1$ представляет собой «полоску» σ_k^0 и $\sigma_k^1 = T^k \sigma_k^0 \subset \Pi_1$. Положим $\sigma_i = \bigcup_{k=\bar{k}}^{\infty} \sigma_k^i$, $i = 0, 1$.

Аналогично [4] выберем специальную окрестность $U_{\bar{k}} = U_{\bar{k}}(\Gamma)$ так, чтобы Π_0 и Π_1 содержали целиком σ_k^0 и σ_k^1 с номерами $k \geq \bar{k}$ и $\Pi_i \cap \sigma_k^i = \emptyset$, $i = 0, 1$, если $k < \bar{k}$. В этом случае в качестве окрестностей точек M^+ и M^- без ограничения общности можно взять $\Pi_0 = \{(x_0, y_0) \mid |x_0 - x^+| \leq \rho_{\bar{k}}$,

$$|y_0| \leq |\gamma|^{-\bar{k}}(y^- + \rho_{\bar{k}}) \text{ и } \Pi_1 = \{(x_1, y_1) \mid |x_1| \leq |\lambda|^{\bar{k}}(x^+ + \rho_{\bar{k}}), |y_1 - y^-| \leq \rho_{\bar{k}}\}, \text{ где } \rho_{\bar{k}} = S_0 \cdot |\gamma|^{-\bar{k}/(n+1)}.$$

Пусть Λ — траектория или полутраектория T , не покидающая $U_{\bar{k}}$. Предположим, что Λ не является асимптотической к O . Тогда она пересекает Π_0 только в точках σ_0 , а Π_1 — в точках σ_1 . Пусть $(\dots, M_{\alpha}^{-l}, \dots, M_{\alpha}^l, \dots)$ — точки пересечения Λ с σ_{α} , расположенные в порядке возрастания итераций, где $M_{\alpha}^l(x_{\alpha}^l, y_{\alpha}^l) \in \sigma_{\alpha}^l$, $\alpha = 0, 1$. Тогда координаты этих точек будут связаны соотношениями

$$x_0^{l+1} = F(\xi_{j_l}(x_0^l, y_1^l), y_1^l - y^-), \quad \eta_{j_{l+1}}(x_0^{l+1}, y_1^{l+1}) = G(\xi_{j_l}, y_1^l - y^-). \quad (4)$$

Множество траекторий (полутраекторий), целиком лежащих в $U_{\bar{k}}$, обозначим через $N_{\bar{k}}(\tilde{N}_{\bar{k}})$. Траекторию $Q \in N_{\bar{k}}$ назовем s -обходной, если $Q \cap \Pi_0$ состоит из s точек. Пару натуральных чисел (j_i, j_{i+1}) назовем допустимой, если в $U_{\bar{k}}$ есть траектория (полутраектория), пересекающая последовательно $\sigma_{j_i}^1$ и $\sigma_{j_{i+1}}^1$.

При достаточно большом \bar{k} в $N_{\bar{k}}(\tilde{N}_{\bar{k}})$ можно указать подсистему $N'_{\bar{k}}(\tilde{N}'_{\bar{k}})$ траекторий седлового типа (полутраекторий), допустимые пары которых удовлетворяют неравенствам: при нечетном n

$$d[\gamma^{-j_{i+1}} y^- - c \lambda^{j_i} x^+] > S_1(|\lambda|^{j_i} + |\gamma|^{-j_{i+1}}) |\gamma|^{-\bar{k}/(n+1)}, \quad (5)$$

а при четном n

$$|\gamma^{-j_{i+1}} y^- - c \lambda^{j_i} x^+| > S_1(|\lambda|^{j_i} + |\gamma|^{-j_{i+1}}) |\gamma|^{-\bar{k}/(n+1)}. \quad (6)$$

Это установлено в [4] при $\sigma < 1$, при $\sigma = 1$ доказательство аналогично.

В зависимости от типа описания множества $N_{\bar{k}}$ можно выделить три случая систем с негрубой гомоклинической траекторией при $\sigma < 1$. Во-первых, это диффеоморфизмы с тривиальным описанием, здесь $N_{\bar{k}} = O \cup \Gamma$. Во-вторых, диффеоморфизмы, допускающие полное описание, когда все траектории $N_{\bar{k}}$, за исключением Γ , седловые, и $N_{\bar{k}}$ определяется с помощью топологических схем Бернулли из трех символов при n нечетном или из двух символов при n четном. И, в-третьих, диффеоморфизмы со смешанным описанием; в этом случае в $N_{\bar{k}}$ содержатся гиперболические подмножества

и, вообще говоря, устойчивые или негрубые периодические траектории. (Точнее об этом см. в [3].)

Рассмотрим следующие величины: $\theta = -\ln |\lambda| / \ln |\gamma|$, $\tau = (\ln |\gamma|)^{-1} \times \ln |cx^+ + y^-|$. Заметим, что τ , вообще говоря, зависит от выбора пар гомоклинических точек. Поэтому τ , построенную по точкам $M_1 \in W_{loc}^s$ и $M_2 \in W_{loc}^u$, обозначим через $(\tau(M_1, M_2))$.

Лемма. Пусть $M_s^+ = T^s M^+ \in W_{loc}^s$ и $M_p^- = T^p M^- \in W_{loc}^u$. Тогда

$$\tau(M_s^+, M_p^-) = \tau(M^+, M^-) + (s - p)(1 - \theta). \quad (7)$$

Доказательство. Возьмем точки $M^{+'} = TM^+ = (\lambda x^+, 0)$ и M^- . В этом случае роль \hat{T} будет играть отображение $\hat{T}' = T\hat{T}: \Pi_1 \rightarrow T\Pi_0$. Последнее, используя (1), можно представить в виде

$$x'_0 - \lambda x^+ = \lambda F + f(x^+ + F, G) \cdot (x^+ + F)^2 \cdot G \equiv F'(x_1, y_1 - y^-),$$

$$y'_0 = \gamma G + g(x^+ + F, G) \cdot (x^+ + F) \cdot G^2 \equiv G'(x_1, y_1 - y^-).$$

Тогда в силу (2) получим $x^{+'} = \lambda x^+$, $y^{-'} = y^-$, $c' = G'_{x_1}(0) = \gamma c$, $\tau(TM^+, M^-) = \tau(M^+, M^-) + (1 - \theta)$.

Аналогично для пары точек M^+ и $T^{-1}M^-$ будет $x^{+'} = x^+$, $y^{-'} = \gamma^{-1}y^-$, $c' = \lambda c$, $\tau(M^+, T^{-1}M^-) = \tau(M^+, M^-) + (1 - \theta)$. Теперь формула (7) легко доказывается по индукции.

Пусть $M_i^s \in W_{loc}^s$, $M_i^u \in W_{loc}^u$, $i = 1, 2$, — пары точек орбиты Γ такие, что $T^k M_i^u = M_i^s$ для некоторого достаточно большого k . Тогда существует целое j такое, что $T^j M_1^s = M_2^s$ и $T^j M_1^u = M_2^u$. В силу (7) в этом случае $\tau(M_1^s, M_1^u) = \tau(M_2^s, M_2^u)$. Таким образом, величина τ инвариантна по отношению к выбору пар точек орбиты Γ , принадлежащих W_{loc}^u и W_{loc}^s и связанных между собой одним и тем же числом итераций отображения T . Отмечая этот факт, величину $\tau(M_1, M_2)$ будем обозначать также через $\tau(k)$, где $T^k M_2 = M_1$ и $M_1 \in W_{loc}^s$, $M_2 \in W_{loc}^u$ — точки орбиты Γ .

Отметим также, что величина τ не зависит от гладких замен координат, сохраняющих вид (1) отображения $T|_S$.

2. Модули топологической сопряженности диффеоморфизмов с негрубой гомоклинической траекторией в случае $\sigma < 1$. Рассмотрим диффеоморфизмы T_1 и T_2 с негрубыми гомоклиническими траекториями Γ_1 и Γ_2 , удовлетворяющие условиям А—В с нечетными $n_1 \geq 1$ и $n_2 \geq 1$ и, вообще говоря, различными. Выберем две пары гомоклинических точек $M_1^+(x_1^+, 0)$, $M_1^-(0, y^-)$ и $M_2^+(x_2^+, 0)$, $M_2^-(0, y_2^-)$ отображений T_1 и T_2 так, чтобы $M_1^+ = T_1^s M_1^-$ для некоторого достаточно большого s . Предположим, что знаки параметров λ , γ , c и d у T_1 и T_2 совпадают. В противном случае диффеоморфизмы заведомо не сопряжены*. По парам точек M_1^+ , M_1^- и M_2^+ , M_2^- указываем соответственно $\tau_1(\tau_1(s))$ и $\tau_2(\tau_2(s))$.

Теорема 1. Пусть T_1 и T_2 — диффеоморфизмы с тривиальным описанием. Для сопряженности T_1 и T_2 в случае, когда Γ_1 и Γ_2 не являются предельными траекториями, необходимо, чтобы $\theta_1 = \theta_2$. Для сопряженности T_1 и T_2 в случае, когда Γ_1 и Γ_2 — предельные траектории, необходимо, чтобы $\theta_1 = \theta_2$ и выполнялось одно из условий: 1) если θ_i иррационально, то $\tau_1 = \tau_2$; 2) если θ_i рационально, то τ_1 и τ_2 принадлежат замыканию одной и той же компоненты связности множества $R - R_{\theta_i}$, где $R_{\theta_i} = \{x \mid x = r - k\theta; r, k \in \mathbb{Z}\}$.

В первом случае доказательство проводится так же, как и для диффеоморфизмов с негрубой гетероклинической точкой [2, 5] **. Вообще, диф-

* Например, T_1 и T_2 , у которых $\lambda > 0$, $\gamma < 0$, но $d_1 < 0$, $c_1 < 0$, а $d_2 > 0$, $c_2 > 0$, не сопряжены, поскольку периоды однообходных периодических траекторий у этих диффеоморфизмов будут числами разных четностей.

** Инвариант, введенный в [2], есть θ , если седла совпадают.

феоморфизмы с тривиальным описанием будут только при нечетном n и $\gamma > 0, d < 0$. В частности, если $\lambda > 0, \gamma > 0, c < 0, d < 0$, то траектория Γ не является предельной. В остальных таких случаях Γ — ω -предельная траектория. И здесь мы покажем, что если не выполняются условия теоремы, то T_1 и T_2 не будут сопряжены на множествах траекторий, ω -предельных к гомоклиническим.

Рассмотрим, для определенности, случай $\lambda > 0, \gamma > 0, c > 0, d < 0$. Пусть $\theta_1 = \theta_2 = \theta$ и $\tau_1 < \tau_2$. При достаточно большом \bar{k} у T_2 существует множество полутраекторий $\tilde{N}_{\bar{k}}^2$, являющихся ω -предельными к Γ_2 , для которых допустимые пары удовлетворяют неравенству (5). Логарифмируя последнее, получаем

$$j_{i+1} > j_i \theta - \tau_2 + S_2 |\gamma_2|^{-\bar{k}/(n_2+1)}. \quad (8)$$

Множество допустимых пар диффеоморфизма T_1 принадлежит множеству целочисленных решений неравенства

$$j_{i+1} \geq j_i \theta - \tau_1 - S_2 |\gamma|^{-\bar{k}/(n_1+1)}. \quad (9)$$

Заметим, что если j_i и j_{i+1} не удовлетворяют (9), то левая и правая части системы (4) будут иметь разные знаки. Неравенства (8) и (9) определяют соответственно некоторые полуплоскости P_2 и P_1 на R_2 . При этом все точки $(j_i, j_{i+1}) \in P_2$ соответствуют допустимым парам для $\tilde{N}_{\bar{k}}^2$, а в $R_2 \setminus P_1$ нет ни одной точки, отвечающей допустимой паре для $\tilde{N}_{\bar{k}}^1$. Поскольку $\tau_1 < \tau_2$, то при достаточно большом \bar{k} множество $\tilde{P} = P_2 \setminus P_1$ представляет собой полосу шириной порядка $\tau_2 - \tau_1$. Если θ иррационально, то в \tilde{P} содержится счетное множество точек, соответствующих парам допустимым для $\tilde{N}_{\bar{k}}^2$ и недопустимым для $\tilde{N}_{\bar{k}}^1$. И, следовательно, полутраектории из $\tilde{N}_{\bar{k}}^2$, имеющей хотя бы две последовательные точки пересечения с $\sigma_{j_i}^0$ и $\sigma_{j_{i+1}}^0$, где $(j_i, j_{i+1}) \in \tilde{P}$, не может быть поставлена в соответствие (при сопряжении) траектория из $\tilde{N}_{\bar{k}}^1$.

В случае, когда θ рационально, прямая $j = i\theta - \tau$ при $\tau \notin R_\theta$ лежит на конечном расстоянии от точек целочисленной решетки. Если τ_1 и τ_2 принадлежат разным компонентам связности множества $R - R_\theta$, то \tilde{P} содержит прямую $j = i\theta - \tau'$, где $\tau' \in R_\theta$, и, следовательно, счетное множество точек из $Z \times Z$. В этом случае при достаточно большом \bar{k} диффеоморфизмы T_1 и T_2 также не сопряжены.

В случае $\lambda < 0$ при θ рациональном, если τ_1 и τ_2 принадлежат разным компонентам связности множества $R - R_\theta$, T_1 и T_2 могут быть не сопряжены из-за различного поведения некоторых траекторий, остающихся в $U_{\bar{k}}^i$ лишь конечное время, $i = 1, 2$.

Теорема 2. Для сопряженности диффеоморфизмов T_1 и T_2 с полным описанием необходимо, чтобы $\theta_1 = \theta_2$.

Доказательство аналогично [2, 5]. Диффеоморфизмы с полным описанием при нечетном n имеют $\lambda > 0, \gamma > 0, c < 0, d > 0$. Такие T_1 и T_2 будут Ω -сопряжены на некоторых специальных окрестностях гомоклинических траекторий [3, 4], но топологически не сопряжены при $\theta_1 \neq \theta_2$ из-за различного поведения блуждающих траекторий.

Теорема 3. Для сопряженности диффеоморфизмов T_1 и T_2 в случае смешанного описания необходимо, чтобы $\theta_1 = \theta_2$ и выполнялось одно из условий: 1) если θ_i иррационально, то $\tau_1 = \tau_2$; 2) если θ_i рационально, то τ_1 и τ_2 принадлежат замыканию одной и той же компоненты связности множества $R - R_{\theta_i}$.

Покажем, что если условия теоремы не выполняются, то T_1 и T_2 не будут сопряжены на неблуждающих множествах в окрестностях гомоклинических траекторий. Пусть $\theta_1 = \theta_2 = \theta$ и $\tau_1 < \tau_2$. Для определенности рассмотрим случай $\lambda > 0, \gamma > 0, c > 0, d > 0$. При достаточно большом \bar{k} до-

пустимые пары, соответствующие $N_{\bar{k}}^{I'}$, удовлетворяют неравенству

$$j_{i+1} < j_i \theta - \tau_1 - S_3 |\gamma_1|^{-\bar{k}/(n_1+1)}, \quad (10)$$

а допустимые пары для $N_{\bar{k}}^2$ принадлежат множеству решений неравенства

$$j_{i+1} < j_i \theta - \tau_2 + S_3 |\gamma_2|^{-\bar{k}/(n_2+1)}. \quad (11)$$

Неравенства (10) и (11) определяют соответственно полуплоскости P'_1 и P'_2 на R_2 . В $R_2 \setminus P'_2$ нет точек, отвечающих допустимым парам для $N_{\bar{k}}^2$. Далее доказательство аналогично доказательству теоремы 1.

Отметим, что величина θ является модулем сопряженности систем с четным n . Этот факт доказывается аналогично [2, 5].

3. Некоторые арифметические свойства θ и τ в случае $\sigma < 1$. В [3] установлено, что на бифуркационных поверхностях, соответствующих диффеоморфизмам со смешанным описанием, всюду плотны системы со счетным множеством устойчивых периодических точек. В подобных случаях тип $N_{\bar{k}}$ значительно зависит от арифметических свойств θ и τ .

Из [1, 4] известно, что в случае $\sigma < 1$ однообходные периодические траектории рассматриваемых диффеоморфизмов всегда седловые, а у систем с четным n , у которых

$$\lambda > 0, \quad ld > 0 \text{ либо } \lambda < 0, \quad \gamma > 0, \quad \operatorname{sign} c = \operatorname{sign} ld, \quad (12)$$

седловыми являются и двухобходные периодические траектории. В остальных случаях последние могут быть устойчивыми. Чтобы это показать, рассмотрим отображение $T_{ij} = \hat{T}T^j\hat{T}T^i : \Pi_0 \rightarrow \Pi_0$, которое, используя (3), представим в виде

$$\begin{aligned} \bar{x}_0 - x^+ &= F(\xi_i(x_0, y_1), y_1, -y^-), \quad \eta_j(\bar{x}_0, \bar{y}_1) = G(\xi_i, y_1 - y^-), \\ \bar{\bar{x}}_0 - x^+ &= F(\xi_j(\bar{x}_0, \bar{y}_1), \bar{y}_1 - y^-), \quad \eta_i(\bar{\bar{x}}_0, \bar{\bar{y}}_1) = G(\xi_j, \bar{y}_1 - y^-). \end{aligned} \quad (13)$$

Для определенности, пусть $j > i \geq \bar{k}$. Для нахождения неподвижных точек T_{ij} положим в (13) $\bar{x}_0 = x_0, \bar{y}_1 = y_1$. Тогда, разрешив полученную систему относительно x_0 и x_0 и введя переменные $\eta_1 = y_1 - y^- - \varphi, \eta_2 = y_1 - y^- + \varphi$, получим систему

$$\begin{aligned} D\eta_1^{n+1} + (c\lambda^i b_1(\eta_2) - \gamma^{-i}) \eta_2 + \lambda^i x^+ l_1(\eta_2) \eta_1 + c\lambda^i x^+ - \gamma^{-i} y^- + \\ + \rho_{ij}^1(\eta_1, \eta_2) (|\lambda|^{2i} + |\gamma|^{-2j}), \quad D\eta_2^{n+1} + (c\lambda^j b_2(\eta_1) - \gamma^{-j}) \eta_1 + \\ + \lambda^j x^+ l_2(\eta_1) \eta_2 + c\lambda^j x^+ - \gamma^{-j} y^- + \rho_{ij}^2(\eta_1, \eta_2) |\gamma|^{-2i}, \end{aligned} \quad (14)$$

где $b_\alpha(0) = b, l_\alpha(0) = l$, функции ρ_{ij}^α и их производные равномерно ограничены по i и j , $\alpha = 1, 2$. При n нечетном, например, система (14) допускает, вообще говоря, решения вида

$$\begin{aligned} \eta_2 &= \pm (d^{-1} \gamma^{-i} y^- (1 + \dots))^{1/(n+1)}, \\ \eta_1 &= \pm \{ d^{-1} [\gamma^{-j} (y^- + \gamma^{-i/(n+1)} |y^-| d + \dots)]^{1/(n+1)} - \\ &- c\lambda^i (x^+ + b\gamma^{-i/(n+1)} |y^-| d + \dots)^{1/(n+1)} \}^{1/(n+1)}. \end{aligned} \quad (15)$$

Характеристическое уравнение $v^2 - a_1 v + a_2 = 0$ для T_{ij} при $j > i$ имеет следующие коэффициенты:

$$\begin{aligned} a_1 &= \gamma^{i+j} \{ [d(n+1) \eta_2^n + b\lambda^i x^+] [d(n+1) \eta_1^n + b\lambda^j x^+] + bc\lambda^i \gamma^{-i} (1 + \dots) \}, \\ a_2 &= bc (\lambda\gamma)^{i+j} (1 + \dots). \end{aligned}$$

Условие $|a_1| < 1$, означающее, что соответствующая неподвижная точка устойчива, можно представить таким образом:

$$|d(n+1)\eta_1^n + l\lambda^l x^+| < \frac{1}{|d(n+1)|} \left| \frac{y^-}{d} \right|^{1/(n+1)} |\gamma|^{-l/(n+1)}. \quad (16)$$

Заметим, что это неравенство при $l \neq 0$ может иметь решение только, если $\text{sign } \eta_1 = -\text{sign } ld$, что может выполняться в силу (15). Тогда после логарифмирования неравенства (16) получим

$$\tilde{\omega}_i^1 < j - i\theta + \tau - \frac{1-p}{y^- \ln |\gamma|} \left| \frac{y^-}{d} \right|^{1/(n+1)} |\gamma|^{-l/(n+1)} < \tilde{\omega}_i^2, \quad (17)$$

где $p = by^-/x^+$; $\tilde{\omega}_i^1 < \tilde{\omega}_i^2$ — величины порядка $|\lambda|^{i/n} |\gamma|^{-l/(n+1)}$. Неравенство (17) имеет счетное множество решений в целых числах, например, в таких случаях: 1) для любого τ при $\theta \in J_\tau$, где $J_\tau = \{\theta | \theta > 1\}$; 2) для любого иррационального $\theta > 1$ при $\tau \in I_\theta$, где $I_\theta = R$. При таких θ и τ диффеоморфизм T будет иметь счетное множество устойчивых двухобходных периодических траекторий. Если $p \neq 1$, то, как легко видеть, J_τ содержит только иррациональные числа. В случае, когда τ рационально, множество J_τ содержит только экспоненциально-приближаемые иррациональные числа.

Действительно, из (17) при $\tau = r/s$ получаем неравенство

$$\left| \theta - \frac{js+ri}{is} \right| < \frac{S_4}{is} |\gamma|^{-is/(n+1)}.$$

Отметим, что $\text{mes } J_\tau = \text{mes } I_\theta = 0$.

Рассмотрим теперь диффеоморфизмы с четным n , удовлетворяющие условию (12). Структура неблуждающего множества таких диффеоморфизмов существенно зависит от инвариантов $p = by^-/x^+$ и $q = ly^-/c$. Так, в [3] анонсировано, что в случае $p < -q^2$ на соответствующих бифуркационных поверхностях всюду плотны системы со счетным множеством устойчивых периодических точек. Исследование этого факта проводится путем изучения неподвижных точек отображения $T_{ijk} = \hat{T}\hat{T}^k\hat{T}^j\hat{T}T^l : \Pi_0 \rightarrow \Pi_0$. Как и в предыдущем случае, можно показать, что T при $p < -q^2$ будет иметь счетное множество устойчивых трехобходных периодических траекторий, когда система неравенств

$$\omega_{ij}^1 < j - i\theta + \tau - \frac{p}{y^- \ln |\gamma|} \left| \frac{y^-}{d} \right|^{1/(n+1)} |\gamma|^{-l/(n+1)} < \omega_{ij}^2, \quad (18)$$

$$\delta_{ik}^1 < k - j\theta + \tau - \frac{1}{y^- \ln |\gamma|} \left| \frac{y^-}{d} \right|^{1/(n+1)} |\gamma|^{-l/(n+1)} < \delta_{ik}^2,$$

где $\omega_{ij}^1 < \omega_{ij}^2$, $\delta_{ik}^1 < \delta_{ik}^2$, $|\omega_{ij}^\alpha| \sim |\gamma|^{-(i+j)/n}$, $|\delta_{ik}^\alpha| \sim |\gamma|^{-(i+k)/n}$ имеет бесконечно много решений относительно целых i , j , k . Это будет выполняться для всюду плотного множества значений (θ, τ) из полуплоскости $\theta > 1$, причем такие θ и τ будут иррациональными числами, экспоненциально-приближаемыми рациональными дробями. Действительно, из (18) легко вытекают следующие неравенства:

$$\left| \theta - \frac{k-j}{j-i} \right| < \frac{|p-1|}{y^- \ln |\gamma|} \left| \frac{y^-}{d} \right|^{1/(n+1)} (j-i)^{-1} |\gamma|^{-l/(n+1)}, \quad (19)$$

$$\left| \tau - \frac{ki-j^2}{j-i} \right| < \frac{|pj-i|}{y^- \ln |\gamma|} \left| \frac{y^-}{d} \right|^{1/(n+1)} (j-i)^{-1} |\gamma|^{-l/(n+1)}.$$

Поскольку $j \sim i\theta$ при $i \rightarrow \infty$, т. е. $j - i \sim (\theta - 1)i$, то выражения в правых частях (19) мажорируются экспонентами от $j - i$.

4. Диффеоморфизмы с негрубой гомоклинической траекторией в случае $\sigma = 1$. Очевидно, для таких

систем $\theta = 1$, а из (7) вытекает, что τ не зависит от выбора пар гомоклинических точек. Характерной особенностью этого случая является то, что множество траекторий из некоторой малой окрестности гомоклинической орбиты допускает полное описание, когда τ не является целым числом.

Теорема 4. Пусть T — диффеоморфизм, удовлетворяющий условиям А—В с $\sigma = 1$ и четным n . Тогда если $\tau \notin Z$, то существует такое $\bar{k} = \bar{k}(\tau) \rightarrow \infty$ при $\min_{m \in Z} (\tau - m) \rightarrow 0$, что $N_{\bar{k}}$ находится во взаимно однозначном соответствии с траекториями топологической схемы Бернулли из двух символов, и все траектории $N_{\bar{k}}$, за исключением Γ , седловые.

Доказательство фактически вытекает из того, что пары (j_i, j_{i+1}) , не удовлетворяющие (6), должны быть решениями неравенства

$$|j_{i+1} - j_i + \tau| \leq S_5 |\gamma|^{-\bar{k}/(n+1)}. \quad (20)$$

Но если $\tau \notin Z$, то последнее не будет иметь целочисленных решений при достаточно большом $\bar{k} = \bar{k}(\tau)$.

Рассмотрим случай нечетного n . Отметим, что если $\lambda > 0$, $\gamma > 0$, $c < 0$, то ситуация будет такой же, как и при $\sigma < 1$, т. е. если $d > 0$, то $N_{\bar{k}} = O \cup \Gamma$ и Γ не является предельной траекторией. В остальных случаях нетрудно показать, что при нецелых τ множество допустимых пар для достаточно большого $\bar{k} = \bar{k}(\tau)$ будет совпадать со множеством целочисленных решений неравенства (5) при $\sigma = 1$ и, следовательно, все траектории $N_{\bar{k}}$, за исключением Γ , будут седловыми*. Рассмотрим подробнее различные случаи.

В случае $\lambda > 0$, $\gamma > 0$, $d > 0$, $c > 0$ неравенство (5) при $\theta = 1$ принимает вид $j_{i+1} < j_i - \tau + \dots$, где многоточием обозначены члены, стремящиеся к 0 при $\bar{k} \rightarrow \infty$. Если $\tau > 0$, то $j_{i+1} < j_i$ и, очевидно, $N_{\bar{k}(\tau)} = O \cup \Gamma$ (здесь Γ является α -предельной траекторией). Если же $\tau < 0$ и $\tau \notin Z$, то структура $N_{\bar{k}(\tau)}$ нетривиальна. В частности, если $\tau \in (-1; 0)$, то $N_{\bar{k}(\tau)}$ содержит бесконечно много гиперболических базисных множеств типа «подковы Смэйла». Отметим, что при $\tau \notin Z$ множество траекторий или полутраекторий из $U_{\bar{k}}$ можно описать с помощью некоторого бесконечного графа $G(\tau)$. Состояния этого графа можно отождествить с σ_k^{α} , $k = \bar{k}, \bar{k} + 1, \dots, \alpha = 1, 2$ (здесь $\sigma_k^{01}(\sigma_k^{02})$ — левая (правая) «половинки» σ_k^0 , точнее см. в [1]). Матрица переходов графа $G(\tau)$ задается таким образом:

$$a_{i\alpha j\beta} = \begin{cases} 1 & \text{если } i \geq j + [\tau], \\ 0 & \text{если } i < j + [\tau], \alpha, \beta = 1, 2, i, j \geq \bar{k}(\tau). \end{cases}$$

Граф ** $G(\tau)$ изображен на рисунке при $\tau \in (-1; 0)$ (а) и $\tau \in (0; 1)$ (б).

В случае $d < 0$, $\gamma > 0$, $\lambda > 0$, $c > 0$ для допустимых пар будет выполняться неравенство $j_{i+1} > j_i - \tau + \dots$. Если $\tau < 0$, то $j_{i+1} > j_i$ и $N_{\bar{k}} = O \cup \Gamma$ (траектория Γ является ω -предельной). Если же $\tau > 0$ и $\tau \notin Z$, то множество $N_{\bar{k}(\tau)}$ — Γ имеет седловую структуру. Матрица переходов графа $G(\tau)$ при $\tau \notin Z$ задается с помощью соотношений

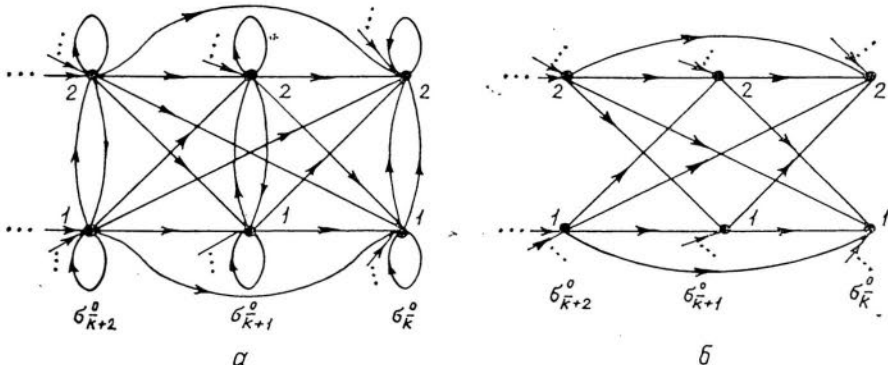
$$a_{i\alpha j\beta} = \begin{cases} 1 & \text{если } i \leq j + [\tau], \\ 0 & \text{если } i > j + [\tau], \alpha, \beta = 1, 2, i, j \geq \bar{k}(\tau). \end{cases}$$

В частности, при $\tau \in (0; 1)$ или $\tau \in (-1; 0)$ график $G(\tau)$ будет таким, как на рисунке, а или б соответственно, только направление стрелок нужно изменить на противоположное.

* Это вытекает из того, что для траектории неседлового типа хотя бы одна допустимая пара должна удовлетворять неравенству (20). Последнее показывается аналогично [4].

** Математически более точное, но и более громоздкое описание можно получить с помощью топологических марковских цепей.

Можно дать точное описание $N_{\bar{k}(\tau)}$ при $\tau \notin \mathbb{Z}$ и в случаях, когда λ или γ отрицательно. Например, если $\lambda < 0$, $\gamma > 0$, $d > 0$, $c > 0$, то условие (5) с $\theta = 1$ при нечетном j_i выполняется для любого $k \leq j_{i+1} \leq \infty$, а



Граф $G(\tau)$.

допустимые пары с четным j_i удовлетворяют неравенству $j_{i+1} < j_i - \tau + \dots$. В этом случае матрица переходов графа $G(\tau)$ при $\tau \notin \mathbb{Z}$ задается соотношениями

$$a_{i\alpha j\beta} = \begin{cases} 1, & \text{если } i \text{ нечетное,} \\ 1, & \text{если } i \text{ четное и } i \geq j + [\tau], \\ 0, & \text{если } i \text{ четное и } i < j + [\tau], \alpha, \beta = 1, 2, i, j \geq \bar{k}(\tau). \end{cases}$$

Как и в п. 2 доказывается следующая теорема.

Теорема 5. Пусть диффеоморфизмы T_1 и T_2 удовлетворяют условиям А—В, $\sigma = 1$ и $n_1 \geq 1$, $n_2 \geq 1$ нечетные, и не выполняется условие $\lambda > 0$, $\gamma > 0$, $c < 0$. Тогда для сопряженности T_1 и T_2 необходимо, чтобы существовало такое целое k , что $\tau_1, \tau_2 \in [k; k+1]$.

1. Гаврилов Н. К., Шильников Л. П. О трехмерных динамических системах, близких к системе с негрубой гомоклинической кривой. I // Мат. сб.— 1972.— 88, № 4.— С. 475—492; II.— 1973.— 90, № 1.— С. 139—157.
2. Palis J. A differentiable invariant of topological conjugacies and moduli of stability // Asterisque.— 1978.— N 51.— P. 335—346.
3. Гонченко С. В., Шильников Л. П. О динамических системах с негрубыми гомоклиническими кривыми // Докл. АН СССР.— 1986.— 286, N 5.— С. 1049—1053.
4. Гонченко С. В. Нетривиальные гиперболические подмножества систем с негрубой гомоклинической кривой // Методы качественной теории дифференциальных уравнений.— Горький: Горьк. ун-т, 1984.— С. 89—102.
5. Newhouse S., Palis J., Takens F. Bifurcations and stability of families of diffeomorphisms // Math. IHES.— 1983.— N 57.— P. 5—72.

НИИ прикл. математики и кибернетики при Горьк. ун-те

Получено 17.07.86